

# Изследване на ефектите на човешката мобилност в малариен модел с две местообитания и употреба на репелент срещу комари

изготвил: Калоян Стоилов  
ръководител: Петър Рашков

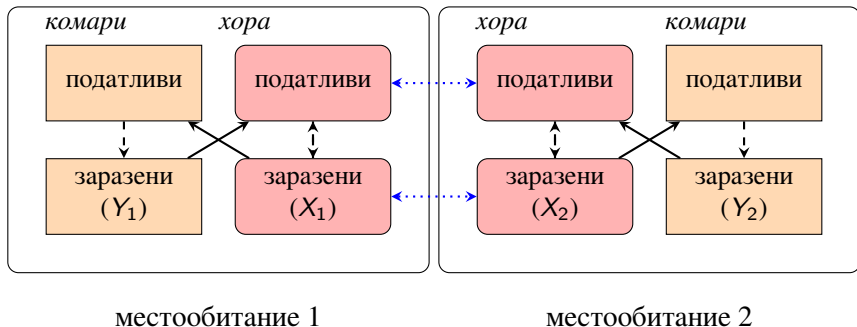
Софийски университет  
"Свети Климент Охридски"



Факултет по математика и информатика

9 юли 2025 г.

# Схема на модела



Фигура 1: Черна пунктирана линия: възможен преход на индивид от класа в началото в класа в края.

Черна непрекъснатата линия: индивид от началото може да зарази индивид от края.

Синя линия: мобилност

# Означения

Променлива	Описание
$t$	Време [ден]
$X_i(t)$	Брой заразени жители
$Y_i(t)$	Брой заразени комари
$u_i(t)$	Пропорция защитени с репелент жители
Параметър	Описание
$\beta_{vh}$	Вероятност на прехвърляне на патогена от комар на човек
$\beta_{hv}$	Вероятност на прехвърляне на патогена от човек на комар
$a_i$	Честота на ухапвания [ден <sup>-1</sup> ]
$M_i$	Популация на женски комари
$\mu_i$	Смъртност на комари [ден <sup>-1</sup> ]
$\tau$	Инкубационен период при комарите [ден]
$N_i$	Човешка популация (население)
$\gamma_i$	Скорост на оздравяване на хора [ден <sup>-1</sup> ]
$\rho_{ij}$	Мобилност на хора от местообитание $i$ в $j$
$\kappa$	Ефективност на репелент
$\bar{u}_i$	Максимална възможна предпазена част жители с репелент
$\bar{l}_i$	Максимална част на заразени хора

Таблица 1: Таблица с променливи и параметри

# Уравнения на модела

$$\begin{aligned}\dot{X}_1 &= \beta_{vh}(N_1 - X_1)(1 - \kappa u_1) \left( \frac{p_{11} e^{-\mu_1 \tau} a_1 Y_1}{p_{11} N_1 + p_{21} N_2} + \frac{p_{12} e^{-\mu_2 \tau} a_2 Y_2}{p_{12} N_1 + p_{22} N_2} \right) - \gamma_1 X_1 \\ \dot{X}_2 &= \beta_{vh}(N_2 - X_2)(1 - \kappa u_2) \left( \frac{p_{21} e^{-\mu_1 \tau} a_1 Y_1}{p_{11} N_1 + p_{21} N_2} + \frac{p_{22} e^{-\mu_2 \tau} a_2 Y_2}{p_{12} N_1 + p_{22} N_2} \right) - \gamma_2 X_2 \\ \dot{Y}_1 &= \beta_{hv} a_1 (M_1 - Y_1) \frac{p_{11}(1 - \kappa u_1) X_1 + p_{21}(1 - \kappa u_2) X_2}{p_{11} N_1 + p_{21} N_2} - \mu_1 Y_1 \\ \dot{Y}_2 &= \beta_{hv} a_2 (M_2 - Y_2) \frac{p_{12}(1 - \kappa u_1) X_1 + p_{22}(1 - \kappa u_2) X_2}{p_{12} N_1 + p_{22} N_2} - \mu_2 Y_2 \\ u_i &\in \mathcal{U}_i = \{u_i : \mathbb{R}_+ \rightarrow [0, \bar{u}_i] | u_i \text{- измерима по Лебег}\}\end{aligned} \tag{1}$$

Моделът включва мобилност<sup>1</sup> с добавена **употреба на репелент**<sup>2</sup>.

---

<sup>1</sup>Derdei Bichara и Carlos Castillo-Chavez. Vector-borne diseases models with residence times – a lagrangian perspective. *Mathematical Biosciences*, 2016.

<sup>2</sup>Peter Rashkov. Modeling repellent-based interventions for control of vector-borne diseases with constraints on extent and duration. *Mathematical biosciences and engineering : MBE*, 19(4), 2022.

# Скалирана форма на модела

Моделът подлежи на скалиране на променливите чрез смяната:

$$(X_1, X_2, Y_1, Y_2)^T \rightarrow \left( \frac{X_1}{N_1}, \frac{X_2}{N_2}, \frac{Y_1}{M_1}, \frac{Y_2}{M_2} \right)^T = (x_1, x_2, y_1, y_2)^T$$

След полагания на коефициентите има вида:

$$\dot{x}_1 = (1 - x_1)(1 - \kappa u_1) (b_{11}y_1 + b_{12}y_2) - \gamma_1 x_1$$

$$\dot{x}_2 = (1 - x_2)(1 - \kappa u_2) (b_{21}y_1 + b_{22}y_2) - \gamma_2 x_2$$

$$\dot{y}_1 = (1 - y_1) (c_{11}(1 - \kappa u_1)x_1 + c_{12}(1 - \kappa u_2)x_2) - \mu_1 y_1$$

$$\dot{y}_2 = (1 - y_2) (c_{21}(1 - \kappa u_1)x_1 + c_{22}(1 - \kappa u_2)x_2) - \mu_2 y_2$$

## Допълнителни означения

Ще се записва във векторен вид по следния начин:

$$\dot{\mathbf{z}} = \mathbf{f}(\mathbf{z}, \mathbf{u}), \quad \mathbf{z} = (\mathbf{x}, \mathbf{y})^T, \quad \mathbf{z}(0) = \mathbf{z}_0 = (x_1^0, x_2^0, y_1^0, y_2^0)^T$$

Задачата се разглежда в:

$$\Omega = \{x_i \in [0, 1], y_i \in [0, 1]\} = \{\mathbf{z} \in [0, 1]^4\}$$

Означаваме:

$$U = [0, \bar{u}_1] \times [0, \bar{u}_2]$$

$$\mathcal{U} = \mathcal{U}_1 \times \mathcal{U}_2$$

# Задача за здравна политика

$\bar{l}_i \in [0, 1]$  - максималната част от населението в съответното местообитание, което може да получи адекватна здравна помощ при заразяване с малария.

$$\bar{l} = (\bar{l}_1, \bar{l}_2)^T, \quad \mathcal{I} = [0, \bar{l}_1] \times [0, \bar{l}_2] \times [0, 1]^2.$$

Питаме се има ли такива управления  $\mathbf{u}$ , за които във всеки момент всички заразени да имат възможност да получат помощ от здравната система, т.е. :

$$\forall t \geq 0 (x_1(t) \leq \bar{l}_1 \wedge x_2(t) \leq \bar{l}_2) \iff \forall t \geq 0 (\mathbf{z}(t) \in \mathcal{I}) \quad (2)$$

Тъй като първоначалният брой заразени хора и комари влияят на развитието на системата ще търсим **ядрото на слаба инвариантност на Белман**:

$$V(\bar{l}, \bar{\mathbf{u}}) = \{\mathbf{z}_0 \text{ начално условие} | \exists \mathbf{u} ((2) \text{ е изпълнено})\} \quad (3)$$

$$\begin{aligned}\dot{x}_1 &= (1 - x_1)(1 - \kappa u_1) (b_{11}y_1 + b_{12}y_2) - \gamma_1 x_1 \\ \dot{x}_2 &= (1 - x_2)(1 - \kappa u_2) (b_{21}y_1 + b_{22}y_2) - \gamma_2 x_2 \\ \dot{y}_1 &= (1 - y_1) (c_{11}(1 - \kappa u_1)x_1 + c_{12}(1 - \kappa u_2)x_2) - \mu_1 y_1 \\ \dot{y}_2 &= (1 - y_2) (c_{21}(1 - \kappa u_1)x_1 + c_{22}(1 - \kappa u_2)x_2) - \mu_2 y_2\end{aligned}\tag{4}$$

### Твърдение

За всяко  $\mathbf{u} \in \mathcal{U}$  задачата на Коши за (4) има *единствено решение*.

### Твърдение

$\Omega$  е *положително инвариантно* за (4).



# Свойства на модела

## Твърдение

Системата (4) е **кооперативна**, т.е. Якобианът ѝ има неотрицателни компоненти извън главния диагонал.

## Твърдение

Системата (4) е **силно вдлъбната**, т.е. за Якобиана ѝ  $Df$  е в сила  $0 < z_1 < z_2 \implies Df(z_2) < Df(z_1)$ .

## Твърдение

Системата (4) е **неразложима** при  $p_{ij} \notin \{0, 1\}$ , т.е. ненулевите компоненти на Якобиана ѝ образуват матрица на съседство на силно свързан ориентиран граф.

## Твърдение

За система (4) при фиксирано  $\mathbf{u}(t) \equiv \mathbf{u} = \text{const}$  е в сила точно едно от:

- ①  $\mathbf{0}$  е единствена равновесна точка (глобално асимптотично устойчива).
- ②  $\mathbf{0}$  е неустойчива равновесна точка и съществува точно една друга ендемична равновесна точка  $\mathbf{E}^* = (x_1^*, x_2^*, y_1^*, y_2^*)$  (глобално асимптотично устойчива).

Твърдението се доказва с помощта на изведените свойства на (4) и теорема на Smith<sup>3</sup>.

---

<sup>3</sup>Hal L. Smith. Cooperative Systems of Differential Equations with Concave Nonlinearities. *Nonlinear Analysis, Theory, Methods & Applications*, 18(10), 1986.

## Екстремални свойства на $V(\bar{l}, \bar{u})$

$\mathbf{0}$  е равновесна за (4)  $\implies \mathbf{0} \in V(\bar{l}, \bar{u})$ .

$\mathbf{z}_0 \notin \mathcal{I} \implies \mathbf{z}_0 \notin V(\bar{l}, \bar{u})$ , т.е.  $V(\bar{l}, \bar{u}) \subseteq \mathcal{I}$ .

### Твърдение

Ако съществува  $\mathbf{E}^* = (x_1^*, x_2^*, y_1^*, y_2^*)^T$  за  $\mathbf{u}(t) \equiv \bar{\mathbf{u}}$ , като  $x_1^* > \bar{l}_1$  или  $x_2^* > \bar{l}_2$ , то  $V(\bar{l}, \bar{u}) = \{\mathbf{0}\}$ .

### Твърдение

Ако (2) е изпълнено за решението на система (4) с  $\mathbf{u} \equiv \mathbf{0}$  и начално условие  $\mathbf{z}_0 = (\bar{l}_1, \bar{l}_2, 1, 1)^T$ , то  $V(\bar{l}, \bar{u}) = \mathcal{I}$ .

# Вариационен подход за намиране на $V(\bar{I}, \bar{u})$

Дефинираме значна функция на разстоянието  $\Gamma$  до  $\partial I$ :

$$\Gamma(\mathbf{z}) = \begin{cases} \inf_{\mathbf{z}' \in I} \|\mathbf{z} - \mathbf{z}'\|, & \mathbf{z} \in \Omega \setminus I \\ -\inf_{\mathbf{z}' \in \Omega \setminus I} \|\mathbf{z} - \mathbf{z}'\|, & \mathbf{z} \in I \end{cases}$$

Фиксираме  $\lambda > L > 0$  ( $L$  - константата на Липшиц за (4)) и въвеждаме **функция на Белман**  $v$ :

$$v(\mathbf{z}_0) = \inf_{\mathbf{u} \in \mathcal{U}} \sup_{t \in (0, +\infty)} e^{-\lambda t} \Gamma(\mathbf{z}(t; \mathbf{z}_0; \mathbf{u}))$$

# Вариационен подход за намиране на $V(\bar{l}, \bar{u})$

Въвеждаме  $v$ , защото така намирането на множеството  $V(\bar{l}, \bar{u})$  може да се разгледа като задача за намиране на неположителните линии на ниво на функцията, понеже:

$$\mathbf{z}_0 \in V(\bar{l}, \bar{u}) \iff v(\mathbf{z}_0) \leq 0$$

С други думи:

$$\begin{aligned} V(\bar{l}, \bar{u}) &= \{\mathbf{z}_0 \in \Omega \mid v(\mathbf{z}_0) \leq 0\} \\ \partial V(\bar{l}, \bar{u}) &= \{\mathbf{z}_0 \in \Omega \mid v(\mathbf{z}_0) = 0\} \end{aligned}$$

# Уравнение на Хамилтон-Якоби-Белман

В сила е принцип за динамично програмиране за всяко  $t > 0$ :

$$v(\mathbf{z}_0) = \inf_{\mathbf{u} \in \mathcal{U}} \max\{e^{-\lambda t} v(\mathbf{z}(t; \mathbf{z}_0; \mathbf{u})), \sup_{s \in (0, t]} e^{-\lambda s} \Gamma(\mathbf{z}(s; \mathbf{z}_0; \mathbf{u}))\}$$

$v$  е единственото непрекъснато вискозно решение на **уравнението от типа на Хамилтон-Якоби-Белман**<sup>4</sup>:

$$\begin{aligned} \min\{\lambda v(\mathbf{z}) + \mathcal{H}(\mathbf{z}, \nabla v), v(\mathbf{z}) - \Gamma(\mathbf{z})\} &= 0, \quad \mathbf{z} \in \mathbb{R}^4 \\ \mathcal{H}(\mathbf{z}, \mathbf{w}) &= \max_{\mathbf{u} \in U} \langle -\mathbf{f}(\mathbf{z}, \mathbf{u}), \mathbf{w} \rangle \end{aligned} \tag{5}$$

---

<sup>4</sup>Albert Altarovici, Olivier Bokanowski и Hasnaa Zidani. A general Hamilton-Jacobi framework for non-linear state-constrained control problems. *ESAIM: COCV*, 19(2), 2013.

# Числено решение на уравнението на Х-Я-Б

Решението на (5) може да се разгледа като стационарно решение на ЧДУ, където  $v$  зависи от времето:

$$\min \left\{ \frac{\partial v}{\partial t}(\mathbf{z}, t) + \lambda v(\mathbf{z}, t) + \mathcal{H}(\mathbf{z}, \nabla v), v(\mathbf{z}, t) - \Gamma(\mathbf{z}) \right\} = 0, \quad \mathbf{z} \in \mathbb{R}^4, \quad t > 0$$
$$v(\mathbf{z}, 0) = v_0(\mathbf{z}), \quad \mathbf{z} \in \mathbb{R}^4 \quad (6)$$

Поради единствеността на решението на (5), за достатъчно голямо  $t$  решението на (6) ще клони към решението на стационарната задача (5) и това ще ни улесни за численото му приближение.

# Числено решение на уравнението на Х-Я-Б

Използваната дискретизация по пространството е равномерна със стъпки  $h_{x_1}, h_{x_2}, h_{y_1}, h_{y_2}$ .

Чрез метода WENO (Weighted Essentially Non-Oscillatory) се получават по-точни приближения за разлика напред и назад  $v_{\eta}^{\pm}$  на производните  $\frac{\partial v}{\partial \eta}$ ,  $\eta = x_1, x_2, y_1, y_2$ .

Численият Хамилтониян от вида Lax-Friedrichs  $\hat{\mathcal{H}}$  е<sup>5</sup>:

$$\hat{\mathcal{H}} = \mathcal{H} \left( \mathbf{z}, \frac{v_{x_1}^+ + v_{x_1}^-}{2}, \frac{v_{x_2}^+ + v_{x_2}^-}{2}, \frac{v_{y_1}^+ + v_{y_1}^-}{2}, \frac{v_{y_2}^+ + v_{y_2}^-}{2} \right) - \sum_{\eta=x_1, x_2, y_1, y_2} \alpha^{\eta} \frac{v_{\eta}^+ - v_{\eta}^-}{2}$$

Множителите  $\alpha^{\eta}$  са от вида:

$$\alpha^{x_1} = \max_{\mathbf{w}} \left| \frac{\partial \mathcal{H}}{\partial w_1}(\mathbf{z}, \mathbf{w}) \right|, \quad \alpha^{x_2} = \max_{\mathbf{w}} \left| \frac{\partial \mathcal{H}}{\partial w_2}(\mathbf{z}, \mathbf{w}) \right|,$$
$$\alpha^{y_1} = \max_{\mathbf{w}} \left| \frac{\partial \mathcal{H}}{\partial w_3}(\mathbf{z}, \mathbf{w}) \right|, \quad \alpha^{y_2} = \max_{\mathbf{w}} \left| \frac{\partial \mathcal{H}}{\partial w_4}(\mathbf{z}, \mathbf{w}) \right|$$

---

<sup>5</sup>Stanley Osher и Ronald Fedkiw. *Level Set Methods and Dynamic Implicit Surfaces*. Springer, 2003.



# Числено решение на уравнението на Х-Я-Б

Използваната дискретизация по времето е равномерна със стъпка  $\tau$  и по него се апроксимира с подобрения метод на Ойлер.

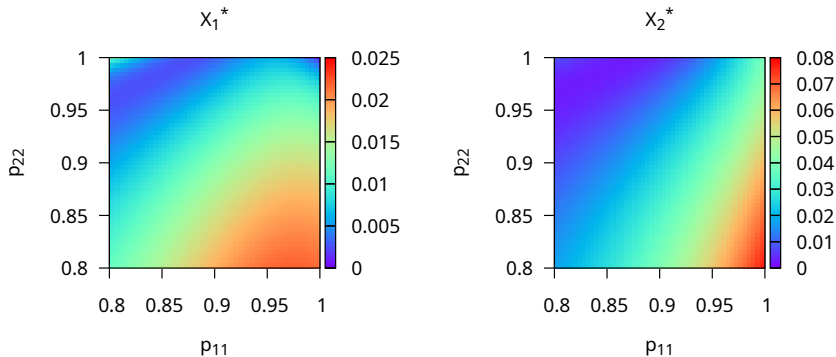
За да може методът да е TVD, трябва да е изпълнено условието на Courant-Friedrichs-Lewy:

$$\tau \max_{z,w} \left( \frac{\left| \frac{\partial \mathcal{H}}{\partial w_1} \right|}{h_{x_1}} + \frac{\left| \frac{\partial \mathcal{H}}{\partial w_2} \right|}{h_{x_2}} + \frac{\left| \frac{\partial \mathcal{H}}{\partial w_3} \right|}{h_{y_1}} + \frac{\left| \frac{\partial \mathcal{H}}{\partial w_4} \right|}{h_{y_2}} \right) < 1$$

# Таблица със стойности на параметри

Параметър	Набор 1		Набор 2		Набор 3	
	М. 1	М. 2	М. 1	М. 2	М. 1	М. 2
$\beta_{vh}$	0.5		0.5		0.5	
$\beta_{hv}$	0.1		0.1		0.1	
$a_i$	0.12	0.18	0.158	0.159	0.15	0.24
$M_i$	$6 \times 10^7$	$1.6 \times 10^8$	$1.7 \times 10^7$	$3 \times 10^7$	$7.3 \times 10^6$	$4.7 \times 10^6$
$\mu_i$	0.048	0.067	0.032	0.046	0.04	0.034
$\tau$	10		10		10	
$N_i$	$8 \times 10^6$	$2 \times 10^7$	$9.4 \times 10^6$	$4.5 \times 10^6$	$7.6 \times 10^5$	$4 \times 10^6$
$\gamma_i$	0.071	0.071	0.063	0.058	0.074	0.062
$p_{ij}$	различни ( $p_{i1} + p_{i2} = 1$ )					
$\kappa$	0.44		0.37		0.38	
$\bar{u}_i$	0.15	0.3	0.39	0.12	0.35	0.3
$\bar{l}_i$	0.1	0.14	0.065	0.12	0.09	0.09

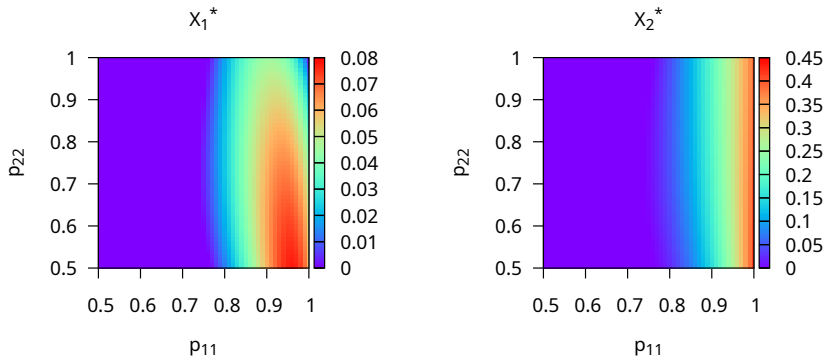
# Ендемичното състояние спрямо мобилността



Фигура 2: Пропорция заразени жители при равновесие на (4)

при  $\mathbf{u}(t) \equiv \bar{\mathbf{u}}$  с параметрите от набор 1.

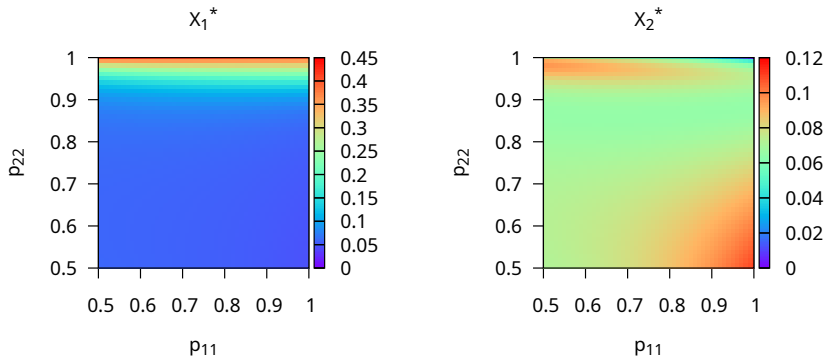
# Ендемичното състояние спрямо мобилността



Фигура 3: Пропорция заразени жители при равновесие на (4)

при  $\mathbf{u}(t) \equiv \bar{\mathbf{u}}$  с параметрите от набор 2.

# Ендемичното състояние спрямо мобилността



Фигура 4: Пропорция заразени жители при равновесие на (4)

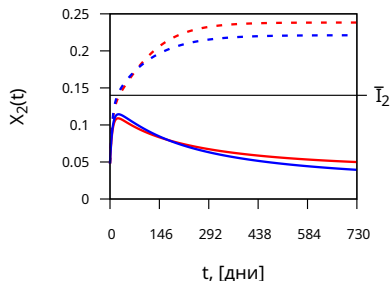
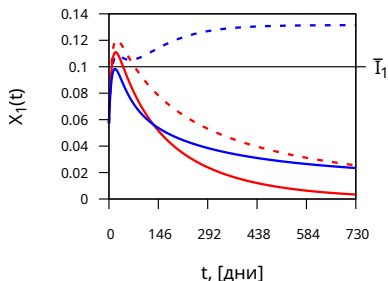
при  $\mathbf{u}(t) \equiv \bar{\mathbf{u}}$  с параметрите от набор 3.

## Числено приближение на $V(\bar{I}, \bar{u})$

$p_{11} \backslash p_{22}$	0.8	0.85	0.9	0.95
0.95	3.427	3.447	3.467	3.486
0.9	3.468	3.487	3.507	3.527
0.85	3.498	3.517	3.536	3.554
0.8	3.519	3.540	3.559	3.580

Таблица 2: 4-мерната мярка на  $V(\bar{I}, \bar{u})$  за параметрите от набор 1. Стойността при случая без мобилност е взета за референтна.

# Динамика за $\mathbf{z}_0 \in V(\bar{\mathbf{l}}, \bar{\mathbf{u}})$

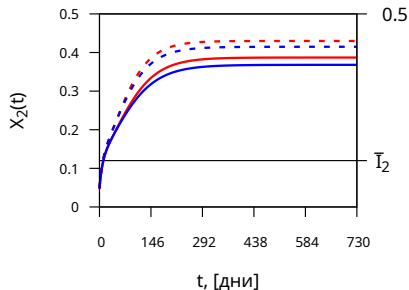
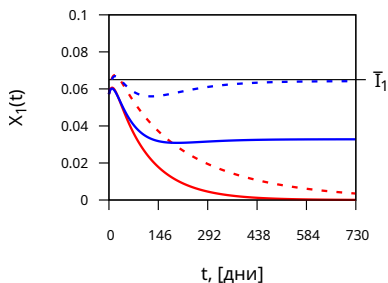


Фигура 5: Решението на (4) с параметрите от набор 1 и  $\mathbf{z}_0 = (0.0572, 0.048, 0.052, 0.044)^T$ .

Пунктирано:  $\mathbf{u}(t) \equiv \mathbf{0}$ , плътно:  $\mathbf{u}(t) \equiv \bar{\mathbf{u}}$ .

**Червено**:  $p_{11} = p_{22} = 1$ , **синьо**:  $p_{11} = p_{22} = 0.85$ .

# Динамика за $z_0 \notin V(\bar{I}, \bar{u})$



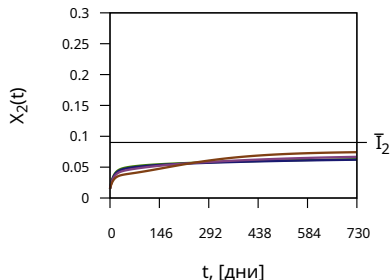
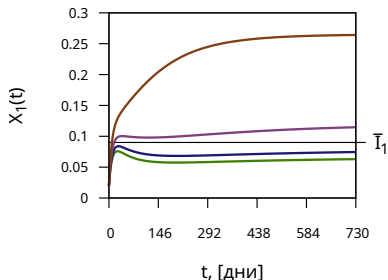
Фигура 6: Решението на (4) с параметрите от набор 2 и  $z_0 = (0.0572, 0.048, 0.052, 0.044)^T$ .

Пунктирано:  $u(t) \equiv \mathbf{0}$ , плътно:  $u(t) \equiv \bar{u}$ .

**Червено**:  $p_{11} = p_{22} = 1$ , **синьо**:  $p_{11} = 0.99, p_{22} = 0.9$ .



# Динамика спрямо мобилността



Фигура 7: Решението на (4) с параметрите от набор 3,  
 $z_0 = (0.02, 0.015, 0.04, 0.03)^T$ ,  $u(t) \equiv \bar{u}$ , фиксирано  $p_{11} = 0.93$ , а различно  $p_{22}$ .  
кафяво:  $p_{22} = 0.97$ ,  
лилаво:  $p_{22} = 0.92$ ,  
синьо:  $p_{22} = 0.88$ ,  
зелено:  $p_{22} = 0.85$ .

- Възможно е размера на  $V(\bar{I}, \bar{u})$  да не варира много спрямо мобилността.
- При мобилност може да се намали пикът на заразени в едното местообитание, за сметка на това в другото.
- Здравна политика на две местообитания може да не е изпълнена при изолираност, но изпълнена при мобилност.
- Възможно е мобилността и употребата на репелент да нямат голяма роля.

# Основни резултати и приноси

- Доказателство на свойствата на модела.
- Имплементация на численото решаване на уравнението на Хамилтон-Якоби-Белман на C++.
- Анализ на модела за 3 набора параметри.

**Благодаря за вниманието**

# Термини от епидемиологията

- Патоген е причинител на зараза (напр. вирус, бактерия, прион).
- Вектор е носител на патоген, който може да зарази други индивиди.
- S (Susceptible - Податливи) - податливи са тези, които не носят патогена и могат да бъдат заразени с него
- I (Infected - Заразени) - заразени са носители на патогена
- Заболяване има ендемичен характер, когато има (приблизително) константен ненулев брой заразени.

# Малария

Симптоми са периодичен пароксизъм(продължителни спазми, потене, треска), умора, главоболие, хепатомегалия (разраснал се черен дроб), белодробен оток, анемия (намалено количество еритроцити), мозъчек оток, смърт.

Патогенът е един 4 вида от рода *Plasmodium* маларийни плазмодии, които са едноклетъчни еукариоти, т.е. едноклетъчни с ядро.

Интензивността на симптомите зависи от вида плазмодий.

В края на XIX век Ronald Ross доказва, че вектора на маларията са комарите от род *Anopheles*. В началото на XX век моделира маларията с две диференциални уравнения, като модела му е основа за моделирането на векторнопредавани заболявания и до днес.

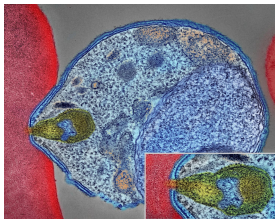
# Разпространение на маларията

Хората могат да оздравеят, като организъмът им се прочисти от плазмодиите. Не развиват траен имунитет, но обикновено повторни заболявания се претърпяват по-лесно.

Комарите са насекоми и нямат имунна система, така че не могат да се предпазват от паразити.

Затова в моделите на Ross динамиката се описва чрез прехода между класове:

- $S \rightarrow I \rightarrow S$  (SIS) при хората
- $S \rightarrow I$  (SI) при комарите



Фигура 8: Оцветена снимка от електронен микроскоп на плазмодий нападащ еритроцит

# Краен вид на Хамилтонияна

$$\mathcal{H}(\mathbf{z}, \nabla v) =$$

$$\begin{aligned} & [\gamma_1 x_1 - (1 - x_1) (b_{11} y_1 + b_{12} y_2)] \frac{\partial v}{\partial x_1} + [\gamma_2 x_2 - (1 - x_2) (b_{21} y_1 + b_{22} y_2)] \frac{\partial v}{\partial x_2} + \\ & [\mu_1 y_1 - (1 - y_1) (c_{11} x_1 + c_{12} x_2)] \frac{\partial v}{\partial y_1} + [\mu_2 y_2 - (1 - y_2) (c_{21} x_1 + c_{22} x_2)] \frac{\partial v}{\partial y_2} + \\ & \max \left\{ 0, \kappa \bar{u}_1 (1 - x_1) (b_{11} y_1 + b_{12} y_2) \frac{\partial v}{\partial x_1} + c_{11} \kappa \bar{u}_1 x_1 (1 - y_1) \frac{\partial v}{\partial y_1} + c_{21} \bar{u}_1 x_1 (1 - y_2) \frac{\partial v}{\partial y_2} \right\} + \\ & \max \left\{ 0, \kappa \bar{u}_2 (1 - x_2) (b_{21} y_1 + b_{22} y_2) \frac{\partial v}{\partial x_2} + c_{12} \bar{u}_2 x_2 (1 - y_1) \frac{\partial v}{\partial y_1} + c_{22} \bar{u}_2 x_2 (1 - y_2) \frac{\partial v}{\partial y_2} \right\} \end{aligned}$$



# Вискозно решение

Нека е дадено уравнение от типа на Хамилтон-Якоби-Белман:

$$F(z, v(z), \nabla v(z)) = 0, \quad z \in \Omega - \text{отворена област в } \mathbb{R}^N, \quad F \in C^0(\Omega \times \mathbb{R} \times \mathbb{R}^N) \quad (7)$$

Функцията  $v \in C^0(\Omega)$  се нарича **вискозно субрешение** на (7), ако за всяко  $\varphi \in C^1(\Omega)$  във всяка точка  $z \in \Omega$  на локален максимум на  $v - \varphi$  е в сила:

$$F(z, v(z), \nabla \varphi(z)) \leq 0$$

Функцията  $v \in C^0(\Omega)$  се нарича **вискозно суперрешение** на (7), ако за всяко  $\varphi \in C^1(\Omega)$  във всяка точка  $z \in \Omega$  на локален минимум на  $v - \varphi$  е в сила:

$$F(z, v(z), \nabla \varphi(z)) \geq 0$$

$v \in C^0(\Omega)$  се нарича **вискозно решение** на (7), ако е едновременно вискозно суперрешение и вискозно субрешение на (7)<sup>6</sup>.

---

<sup>6</sup>Martino Bardi и Italo Capuzzo-Dolcetta. *Optimal Control and Viscosity Solutions of Hamilton-Jacobi-Bellman Equations*. Birkhäuser, 1997.